文章编号: 1004-0609(2008)05-0867-06

制备过程 pH 值对 FePO4·xH2O 及 LiFePO4性能的影响

郑俊超,李新海,王志兴,郭华军,王丹琴 (中南大学 冶金科学与工程学院,长沙 410083)

摘 要:以 FeSO4·7H₂O,H₃PO4,H₂O2 和 NH₃·H₂O 为原料合成 FePO4·xH₂O 前驱体,考察制备过程溶液 pH 值对 合成 FePO₄:xH₂O 前驱体性能的影响;将 Li₂CO₃, FePO₄:xH₂O 和乙炔黑球磨混合,通过低温固相反应合成 LiFePO₄。 用 X 射线衍射和扫描电镜对 FePO4xH2O 和 LiFePO4 进行结构和表面形貌表征, 研究不同 pH 值条件下合成的 FePO₄·xH₂O 前驱体为原料对制备的 LiFePO₄ 电化学性能的影响。结果表明:溶液 pH 值 1.5 时制备的 FePO₄·xH₂O 中含有少量 Fe(PO₄)₂(OH)₂ 杂质, 当 pH 分别为 2、3、4 和 5 时, 合成的 FePO₄:xH₂O 均为纯相。pH 值为 2 左右合 成的 FePO₄·xH₂O 前驱体制备出的 LiFePO₄ 具有良好的电化学性能; 其振实密度达 1.11 g/cm³。

关键词: 锂离子电池; LiFePO4; PO4·xH2O; 电化学性能

中图分类号: TM 912.9 文献标识码: A

Effect of pH value on performance of FePO4·xH2O and LiFePO4 in synthesis process

ZHENG Jun-chao, LI Xin-hai, WANG Zhi-xing, GUO Hua-jun, WANG Dan-qin

(School of Metallurgical Science and Engineering, Central South University, Changsha 410083, China)

Abstract: FePO₄ xH₂O precursor was synthesized from FeSO₄·7H₂O, H₃PO₄, H₂O₂ and NH₃·H₂O under various pH value. LiFePO₄ cathode material was then synthesized by low temperature sintering of the homogeneous mixture of Li₂CO₃, acetylene black and FePO₄:xH₂O. The effect of the solution pH on the performance of FePO₄:xH₂O was characterized. The structures of FePO₄:xH₂O and LiFePO₄ were characterized by XRD and SEM. The effect of the solution pH on the electrochemical performance of LiFePO₄ was discussed. The results show that no impurities exist in the FePO₄:xH₂O synthesized at pH value ranging in 2 and 5. LiFePO₄ made from FePO₄xH₂O precursor synthesized under the condition that the solution pH is about 2 show excellent electrochemical performance, and the tap density reaches 1.11 g/cm³.

Key words: lithium ion batteries; LiFePO₄; FePO₄:xH₂O; electrochemical performance

橄榄石型锂离子电池正极材料 LiFePO4 具有资源 丰富、环境友好以及优越的安全性[1],被认为是新一 代锂离子电池的首选正极材料[2-3]。

合成 LiFePO4 的方法众多,如高温固相反应[4], 水热合成[5],溶胶-凝胶法[6],共沉淀法[7-8],微波烧结 法[9], 碳热还原法[10]。其中最常用的是高温固相法, 一般采用 FeC₂O₄·2H₂O 或 Fe(CH₃COO)₂, (NH₄)H₂PO₄ 或 (NH₄)₂HPO₄, Li₂CO₃或 LiOH 为反应物, 均匀混合

后在惰性气氛或还原性气氛下经高温煅烧一段时间合 成 LiFePO4。

DELACOURT^[11]在低温合成磷酸盐系列锂离子 电池材料时,探讨过制备过程中 pH 值对合成的 FePO4·xH2O 晶体结构的影响; 朱柄权等[12]曾用共沉淀 法制备 FePO4·xH₂O 前驱体, 然后与乙炔黑混合, 在 惰性气氛保护下,利用碳热还原反应法制备 LiFePO₄。 然而,他们并没有考虑溶液 pH 值对合成 FePO₄·xH₂O

基金项目: 国家重点基础研究发展计划资助项目(2007CB613607)

前驱体的性能的影响,以及对合成 LiFePO₄ 的电化学性能的研究。

1 实验

1.1 FePO4:xH2O 的制备

配制浓度均为 0.1 mol/L 的 $FeSO_4$ 溶液和 H_3PO_4 溶液,以一定的流速同时加入烧杯中,并强烈搅拌,将烧杯置于恒温水浴中,温度保持 $60 \, \mathbb{C}$ 。反应 $5 \, \text{min}$ 后,加入过量 H_2O_2 (浓度为 30%),用氨水(浓度为 30%)调节 pH 值,溶液中立即出现大量白色沉淀。搅拌 $15 \, \text{min}$,过滤洗涤,在 $120 \, \mathbb{C}$ 烘 $12 \, \text{h}$,得到浅黄色粉末。

1.2 LiFePO₄/C 的制备

将烘干后的 $FePO_4:xH_2O$ 与 Li_2CO_3 按摩尔比 1:0.5 混合,并加入过量的 10% 乙炔黑,充分球磨后,装入管式炉中。在氩气保护下,于 650 °C 煅烧 12 h,得到 $LiFePO_4/C$ 。采用碳硫分析法测得其碳含量为 10% 左右。

1.3 材料表征

采用 CS800 红外碳硫检测仪(Eltar 公司,德国)对合成材料中的碳含量进行分析。用 X 射线衍射仪 (Rint-2000, Rigaku)和扫描电镜(JEOL,JSM-5612LV) 研究样品的晶体结构和表面形貌。粒度分析仪由 Malvern Instruments Ltd 生产。比表面采用北京汇海宏纳米科技有限公司生产的 3H-2000 全自动氮吸附比表面积测试仪测试。振实密度的测定:将 20 g 样品置入 50 mL 量筒中并振实至体积不再有明显变化,则其振实密度 ρ =20/V (g/cm³),其中 V 为样品振实后的体积(cm³)。

1.4 电池组装和测试

实验电池正极片由合成的 LiFePO₄、导电剂乙炔 黑与粘结剂 PVDF 按质量比 8:1:1 混合,加入 N-甲基 吡咯烷酮(NMP),均匀涂覆在铝箔上,于 60 ℃的真 空干燥箱中干燥 4 h。负极为金属锂,电解液为 1 mol/L LiPF₆ 的 EC+DEC(1:1)溶液,隔膜为 Celgard2400 膜, 在氩气保护的手套箱内装配成 CR2025 型扣式电池。 充放电测试在 Neware 公司生产的充放电测试仪上完 成,测试的温度为常温,充放电电压范围为 2.5~4.1 V。

2 结果讨论

2.1 pH 值对 FePO4·xH2O 性能的影响

2.1.1 pH 值对 FePO₄·xH₂O 物相的影响

根据 DELACOUR^[11]建立的溶解性曲线可以看出,当溶液 pH 值为 2~8 之间时,FePO₄·xH₂O 可以稳定存在。为了研究不同 pH 值对合成 FePO₄·xH₂O 的性能的影响,本研究控制 pH 值分别为 1.5,2,3,4 和5 进行研究。图 1 所示为不同 pH 值条件下合成的 FePO₄·xH₂O 经过 620 °C,20 h 热处理后转化为晶态的 FePO₄·xH₂O 经过 620 °C,20 h 热处理后转化为晶态的 FePO₄的 XRD 谱。从图 1 可以看出,除 pH=1.5 时 XRD 谱中有明显的 Fe(PO₄)₂(OH)₂杂质峰外,其他 pH 值如 2,3,4 和 5 时的衍射峰与纯相 FePO₄ (JCPDS29-715) 谱吻合,说明合成的 FePO₄ 均为纯相,并且为六方层状结构^[13]。

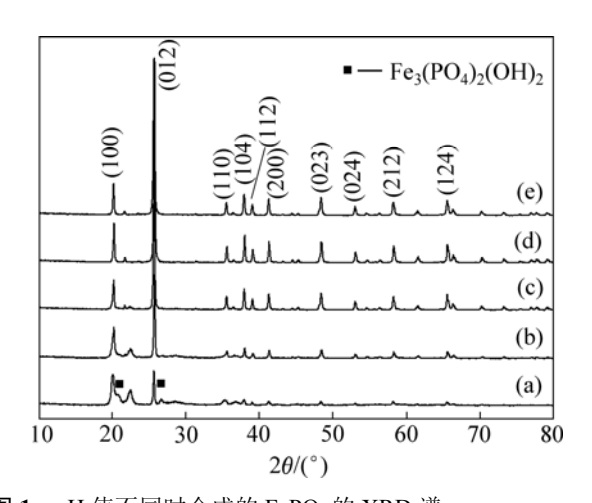


图 1 pH 值不同时合成的 FePO₄ 的 XRD 谱 Fig.1 XRD patterns of FePO₄ prepared at different pH values: (a) pH=1.5; (b) pH=2; (c) pH=3; (d) pH=4; (e) pH=5

2.1.2 pH 值 对 FePO₄·xH₂O 形貌的影响

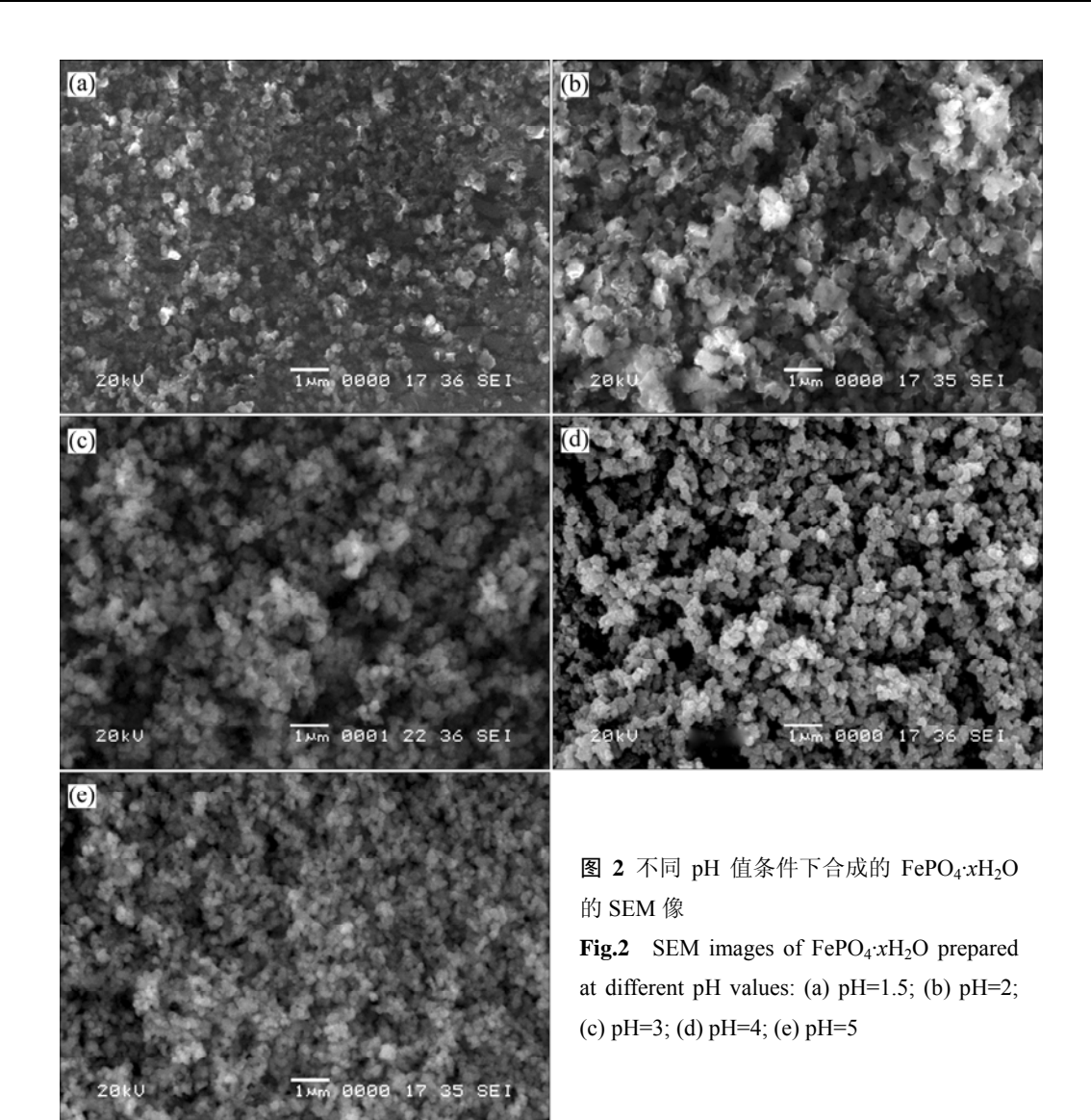
图 2 所示为不同 pH 条件下合成的 $FePO_4:xH_2O$ 的扫描电镜图。由图 2 可知, 所合成的 $FePO_4:xH_2O$ 颗粒细小,粒径分布较均匀,且随着 pH 值的升高,合成的 $FePO_4:xH_2O$ 的颗粒粒径呈减小的趋势。

 $FePO_4:xH_2O$ 的具体形成反应过程如下:

$$FeSO_4 + H_3PO_4 \longrightarrow Fe_3(PO_4)_2 + H_2SO_4 \tag{1}$$

$$Fe_3(PO_4)_2 + H_2O_2 \longrightarrow FePO_4 \cdot xH_2O$$
 (2)

随着氨水的加入,反应(1)生成的 H₂SO₄被迅速中和,溶液 pH 值升高,反应迅速向右移动,并生成更多的 Fe₃(PO₄)₂,这势必会增加 Fe₃(PO₄)₂ 的过饱和度,同样也会增加 FePO₄:xH₂O 的过饱和度。根据胶



体理论,胶体的生成过程是新相的生成及其增长的过程,过程的推动力可以近似用自由能差值来描述^[14]。由简化的 Van't Hoff 方程式进行计算^[14]:

$\Delta G \approx -RT\Delta c / c$

式中 Δc 为过饱和度; c 为物质在溶液中的浓度; ΔG 为自由能差值。

可以看出,过饱和度 Δc 越大,引起 ΔG 越负,核化速率越快。即随着溶液 pH 值的升高,FePO $_4$:xH $_2$ O 的成核速率加快,在调 pH 值后的一瞬间会形成大量晶核(即爆发式成核),晶核的生长速率相对减慢 $^{[14]}$,从而最后形成粒径较小的颗粒。所以,随着溶液 pH 值的上升,合成的 FePO $_4$:xH $_2$ O 的颗粒呈逐渐减小的趋势。

2.1.3 pH 值对 FePO₄·xH₂O 性能参数的影响

LiFePO₄ 的振实密度低是限制其大规模应用的一个很大的问题。前驱体颗粒粒径、比表面积及振实密

度势必对合成的 $LiFeO_4$ 的振实密度有影响。不同 pH 条件下制备的 $FePO_4$: xH_2O 前驱体的比表面积和振实密度如表 1 所示。可见,随着 pH 值的上升,样品的粒度减小,比表面有所增加,振实密度则逐渐变小。从 $LiFePO_4/C$ 材料合成的方面来说,前驱体的粒径小、

表 1 不同样品的性能参数

 Table 1
 Performance parameters of samples with different pH

 values

рН	Granularity/ μm	Specific surface area/(m ² ·g ⁻¹)	Tap density/ (g·cm ⁻³)
1.5	2.12	16.32	0.63
2.0	2.30	15.30	0.71
3.0	1.54	18.65	0.60
4.0	1.38	22.60	0.56
5.0	1.09	28.51	0.46

比表面积大,反应的活性也越大,反应所需要的温度 就越低,合成效率就越高;然而,从电池的制作工艺 来说,颗粒小、比表面积大会引起材料的振实密度低, 将会导致材料的体积能量密度低,难以得到应用。从 上面 2 个方面来考虑,前驱体制备过程中 pH 值不宜 过高。

2.2 pH 值对 LiFePO₄/C 性能的影响

A1, A2, A3 和 A4 表示 pH 值分别为 2, 3, 4 和 5 时制备出的 FePO₄:xH₂O 为前驱体,在氩气气氛下经 650 ℃碳热还原 12 h 后得到的 LiFePO₄/C,其碳含量分别为 10.5%,10.32%,10.2%和 10.9%。图 3 所示为所得到的 LiFePO₄物相分析图谱。从图 3 可以看出,在以 pH 值分别为 2, 3, 4 和 5 时合成的 FePO₄:xH₂O 为前驱体合成的 LiFePO₄中的衍射峰位置与纯的正交橄榄石结构 LiFePO₄(JCPDS40-1499)的衍射峰位置几乎相同,说明合成的 LiFePO₄ 为纯相^[15]。过量的碳以无定型态存在,对 LiFePO₄ 晶体结构没有影响。

图 4 所示为以不同 pH 条件下合成的 FePO₄·xH₂O 为前驱体,在氩气气氛下经 650 ℃碳热还原 12 h 后得到的 LiFePO₄的 SEM 像。图中大颗粒为 LiFePO₄,絮 状物为无定型碳。根据 PROSINI 等的研究,加碳量为 10%时,LiFePO₄/C 材料的电导率为 1.7×10^{-3} S/cm,比纯相的电导率(10^{-10} S/cm)提高 7 个数量级^[16]。也就是说,碳均匀地分布在 LiFePO₄之间,能显著提高

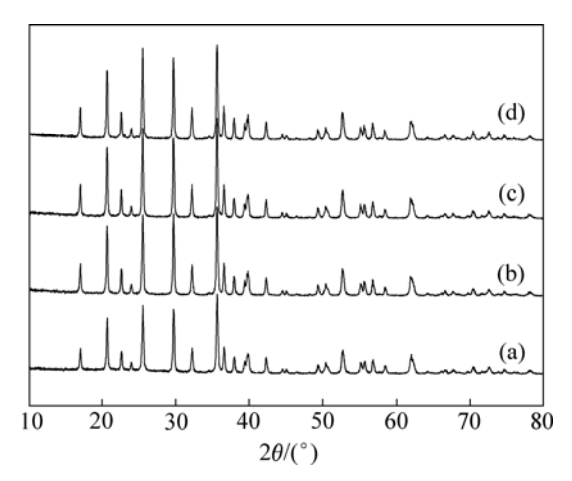


图 3 不同 pH 值条件下合成的 LiFePO₄ 的 XRD 谱 **Fig.3** XRD patterns of LiFePO₄ prepared at different pH values: (a) pH=2; (b) pH=3; (c) pH=4; (d) pH=5

LiFePO₄的电导率。比较图 4 与图 2 还可以看出,合成的 LiFePO₄颗粒粒径随 pH 值的变化趋势与前驱体颗粒粒径变化趋势一致,即随着 pH 值的升高,合成出的 LiFePO₄的颗粒逐渐变小。图 4(b)所示的颗粒团聚比较明显,图 4(c)和图 4(d)所示的颗粒虽然粒子比较小,有利于锂离子的扩散,然而,由于比表面能较高,颗粒间的引力比较大,导致颗粒团聚,并且碳包覆也不明显,不利于提高材料的电子导电性;另一方面,颗粒粒径太小也容易导致材料的振实密度低。图 4(a) 所示为 pH 值为 2 时合成的 LiFePO₄的 SEM 像,可

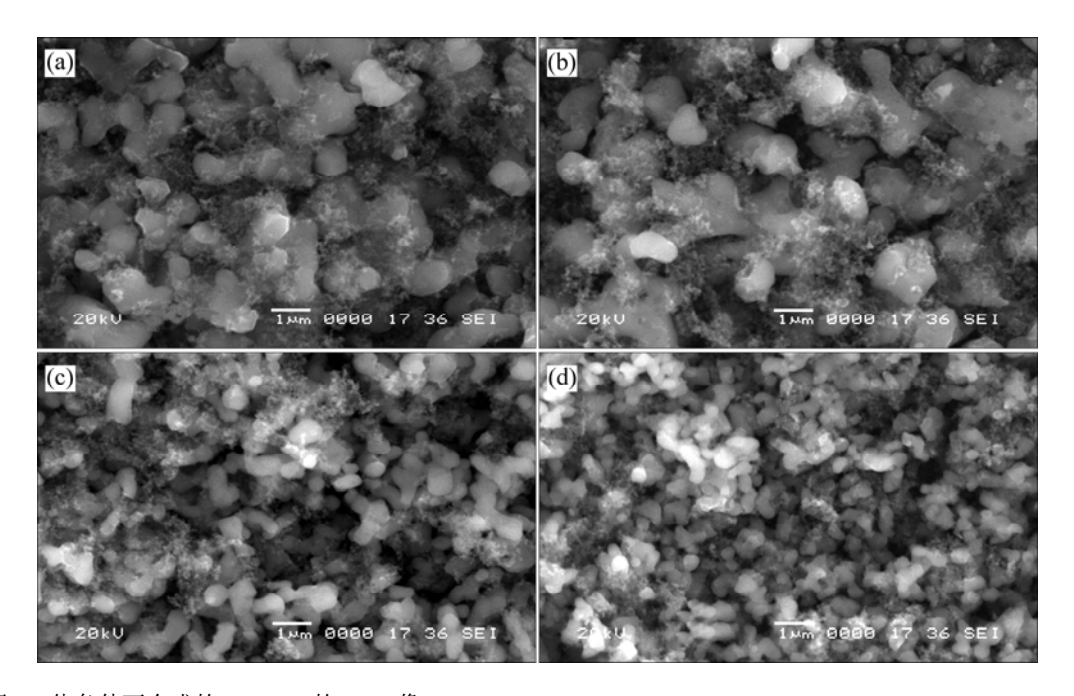


图 4 不同 pH 值条件下合成的 LiFePO₄的 SEM 像

 $\textbf{Fig.4} \quad \text{SEM images of LiFePO}_4 \text{ prepared at different pH values: (a) pH=2; (b) pH=3; (c) pH=4; (d) pH=5$

以看出粒子呈类球形,其颗粒粒径分布均匀,一次粒子粒径为 $0.5\sim1.0~\mu m$,并且粒子被絮状的无定型碳包围,絮状碳颗粒在 $LiFePO_4$ 颗粒之间形成碳桥,增强 $LiFePO_4$ 的导电性,提高活性物质的利用率 $^{[16]}$,从而有利于提高 $LiFePO_4$ 的比容量。

图 5 所示为以不同 pH 值条件下合成的 FePO₄:xH₂O 为前驱体,在氩气气氛下 650 ℃碳热还原 12 h 得到的 LiFePO₄在 0.1C 倍率下的首次放电曲线。其中 pH 值为 2,3,4 和 5 时的首次放电曲线分别用符号 S1,S2,S3 和 S4 表示。

从图 5 可以看出,S1、S2、S3 和 S4 的放电比容量分别为 145.4、137、117.2 和 115.3 mA·h/g。其中 S1 的放电比容量最高,S4 放电比容量最低,即当溶液pH=2 时,由合成的 FePO₄·xH₂O 前驱体制备出的LiFePO₄/C 复合材料的首次放电性能最优良。图 6 所示为 pH=2 条件下合成的 LiFePO₄/C 在不同倍率下的放电曲线和循环曲线。可以看出,随着放电电流的增大,电池的放电比容量逐渐减小,在 0.2C,0.5C 和 1C 放电时,首次放电容量分别为 139,131 和 126 mA·h/g。从图 6(b)所示的不同倍率放电的循环曲线可以看出,在该条件下合成的 LiFePO₄/C 材料在中等倍率放电条件下具有良好的循环性能。在 0.1C,0.2C,0.5C 和 1C 倍率下经 50 次循环后,容量的保持率分别为 98%,97.8%,97.7%和 97.6%。此外,该样的振实密度高达 1.11 g/cm³。

综上所述,制备过程中 pH 值对 $FePO_4:xH_2O$ 及 $LiFePO_4/C$ 性能的影响很大,经研究发现,pH 值应该 控制在 2 左右。

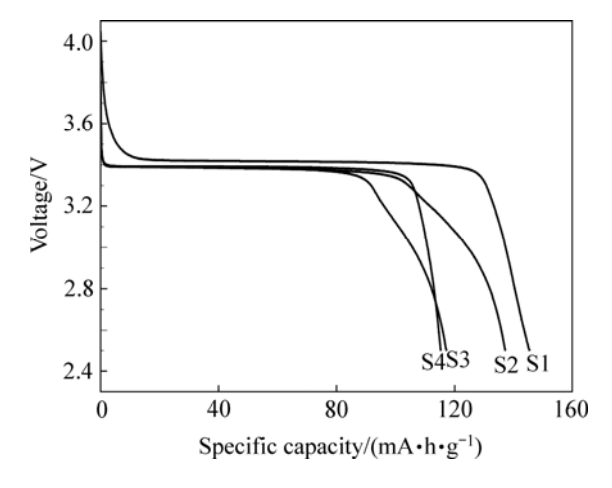
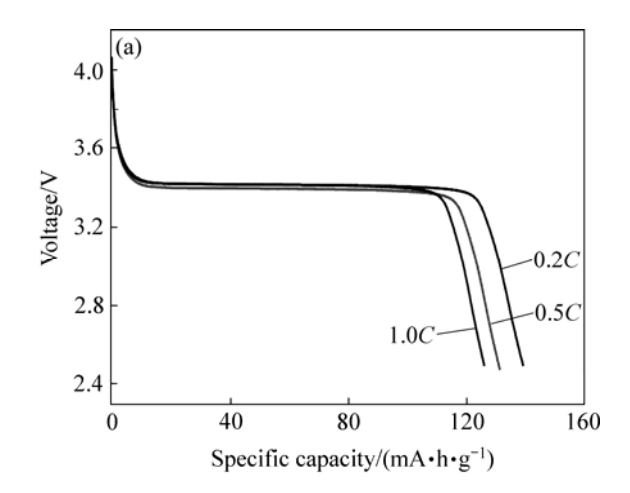


图 5 不同 pH 值条件下合成 LiFePO₄/C 的放电曲线 **Fig.5** Discharge curves of LiFePO₄/C prepared at different pH values: S1—pH=2; S2—pH=3; S3—pH=4; S4—pH=5



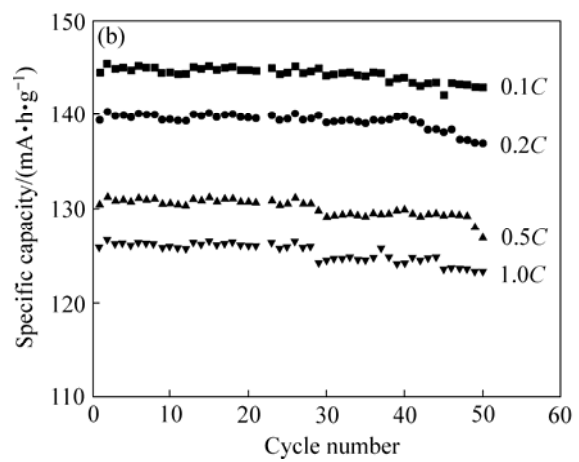


图 6 pH=2 时合成的 LiFePO₄/C 的不同倍率放电曲线和循环图

Fig.6 Discharge curves(a) and cycling performance(b) of LiFePO₄/C prepared at pH=2

3 结论

- 1) 以 FeSO₄·7H₂O, H₃PO₄, H₂O₂和 NH₃·H₂O 为 原料, 通过共沉淀法在不同 pH 值条件下合成了 FePO₄·xH₂O 前驱体, 结果表明: pH 值在 1.5 时制备 出的 FePO₄·xH₂O 中含有少量 Fe(PO₄)₂(OH)₂杂质, 当 pH 值分别为 2, 3, 4 和 5 时合成的 FePO₄·xH₂O 均为 纯相。
- 2) 可以通过控制制备过程中 pH 值来定性控制 FePO₄·xH₂O 及 LiFePO₄ 粒径;制备出的 FePO₄·xH₂O 和 LiFePO₄ 颗粒粒径随制备过程 pH 值的变化趋势是一致的,即都随着 pH 值的升高,颗粒粒径逐渐变小。
- 3) 以 pH=2 条件下合成的 $FePO_4:xH_2O$ 为原料制备出的 $LiFePO_4/C$ 复合材料电化学性能优于其他 pH值下合成的 $LiFePO_4/C$,该样于 0.1C 倍率下的首次放

电比容量达到 145 mA·h/g, 50 次循环后容量保持率高达 98%; 并且其振实密度高达 1.11 g/cm^3 。

REFERENCES

- [1] PANHI A K, NANJUNDASWAMY K S, GOODENOUGH J B. Phospho-olivines as positive-electrode materials for rechargeable lithium batteries[J]. J Electrochem Soc, 1997, 144(4): 1188–1194.
- [2] YAMADA A, CHUNG S C, HINOKUMAK. Optimized LiFePO₄ for lithium battery cathodes[J]. J Electrochem Soc, 2001, 148(3): A224–A229.
- [3] HUANG H,YIN S C, NAZAR L F. Approaching theoretical capacity of LiFePO₄ at room temperature at high rates[J]. Electrochemical and Solid-State Letters, 2001, 4(10): A170–A172.
- [4] MI C H, CAO G S, ZHAO X B. Low-cost, one-step process for synthesis of carbon-coated LiFePO₄ [J]. Material Letters, 2005, 59(1): 127–130.
- [5] MELIGRANA G, GERBALDI C, TUEL A, BODOARDO S, PENAZZI N. Hydrothermal synthesis of high suiface LiFePO₄[J]. J Power Sour, 2006, 160(1): 516–522.
- [6] HU Yao-qin, DOEFF M M, KOSTECHI R, FINONES R. Electrochemical performance of sol-gel synthesized LiFePO₄[J]. J Electrochemical Soc, 2004, 151(12): 1279–1285.
- [7] PARK K S, SON J T, CHUNG H T, KIM S J, LEE C H, KIM H G. Synthesis of LiFePO₄ by co-precipitation and microwave heating[J]. Electrochemistry Communications, 2003, 5(10): 839–842.
- [8] ARNODE G, GARCHE J, HEMMER R, STROBELE S. Fine-particle iron phosphate LiFePO₄ synthesized by a new low-cost aqueous precipitation technique[J]. J Power Sour, 2003,

- 119/121: 247-251.
- [9] HIGUCHI M, KATAYAMA K, AZUMA Y. Synthesis of LiFePO₄ cathode material by microwave processing[J]. J Power Sour, 2003, 119/121: 258–261.
- [10] BAKER J, SAIDI M Y, SWOYER J L. Lithium iron (II) phosphate olivines prepared by a novel carbonthermal reduction method[J]. Electrochem Solid-State Lett, 2003, 6(3): A53-A55.
- [11] DELACOURT C, WURM C, REALE P. Low temperature preparation of optimized phosphates for Li-battery applications[J]. Solid State Ionics, 2004, 173(1/4): 113–118.
- [12] 朱炳权, 李新海, 张 宝, 王志兴, 郭华军. 改进的碳热还原 法制备正极材料 LiFePO₄/C[J]. 电池, 2005, 35(6): 445-447. ZHU Bing-quan, LI Xin-hai, ZHANG Bao, WANG Zhi-xing, GUO Hua-jun. Synthesis of LiFePO₄/C cathode material by modified carbonthermal method[J]. Battery Bimonthly, 2005, 35(6): 445-447.
- [13] 雷 敏, 应皆荣, 姜长印, 万春荣. 高密度球形 LiFePO₄ 的合成及性能[J]. 电源技术, 2006, 30(1): 11-13.

 LEI Min, YING Jie-rong, JIANG Chang-yin, WANG Chun-rong.

 Preparation and characteristic of high-density spherical

 LiFePO₄[J].Chinese Journal of Power Sour, 2006, 30(1): 11-13.
- [14] 郑 忠. 胶体科学导论[M]. 北京: 高等教育出版社, 1989: 17-18.

 ZHENG Zhong. Introduction to colloid science[M]. Beijing: High Education Press of China, 1989: 17-18.
- [15] HUANG H, YIN S C, NAZAR L F. Approaching theoretical capacity of LiFePO₄ at room temperature at high rate[J]. Electrochemical and Solid-State Letters, 2001, 4(10): A170–173.
- [16] PROSINI P P, ZANE D, PASQUALI M. Improved electrochemical performance of a LiFePO₄ based composite cathode[J]. Electrochimica Acta, 2001, 46(23): 3517–3523.

(编辑 龙怀中)